

九州大学 工学部 正員 上田 年比古
 同 正員 神野 健二
 同 学正員 藤野 和徳
 同 学正員 佐々野尚文

1. まえがき 地下密度流の現在までの解については、多くが淡塩境界面上での、分散、混合を無視した場合をとり扱っている。しかし、塩水楔のようにその混合面の長さが大きい場合や砂粒径が大きくなつた場合には、淡塩境界面での混合は無視できないであろうし、これは地下水の劣化(塩水化)の原因にもなると考えられる。このため混合の原因となる主要因として①砂粒径 ②空げき率 ③透水係数 ④密度差を物理特性量として解がえらべることが望ましいと考える。本報では図-1のようにかなり深い場所に設置された真木のボイントソースから流出した真水が上部に上昇してゆくとき、周囲の海水との間に、分散、混合が行なわれた場合の解析を行い、浸透領域内の密度、流速分布などの検討を行つた。

2. 基礎方程式および解の説明

$$\text{連続の式 } \partial u / \partial x + \partial v / \partial y = 0 \quad \dots \dots \dots \quad (1)$$

$$\text{静水圧分布を仮定したダルシーの式は近似的に } \lambda u = R(s_s - s_f) / s_f \quad \dots \dots \dots \quad (2)$$

$$\text{分散方程式 } \partial \{u(s_s - s_f)\} / \partial x + \partial \{v(s_s - s_f)\} / \partial y = \partial \left\{ \frac{3}{16} D u^2 \frac{\partial s}{\partial x} (s_s - s_f) \right\} / \partial x \quad \dots \dots \dots \quad (3)$$

s : 密度 s_f : 淡水の密度 s_s : 塩水の密度 u : x 方向の実流速 v : y 方向の実流速 λ : 空げき率 R : 透水係数 D : 砂粒径 なお $\frac{3}{16} D u^2 \frac{\partial s}{\partial x}$ Saffman による細管モデルの統計理論による分散係数である。分散係数には、武内、Warleman によるものがあるが、本報においては密度流の物理特性量である砂粒径を含んだ Saffman による値を用いた。いま各水深の垂直方向の流速と密度の分布には相似則がなりたつと仮定し、ひ、 $s_s - s_f$ をべき級数で表わす。

$$v = U_m(y) f(\eta) \quad \dots \dots \dots \quad (4) \quad s_s - s = s_m'(y) f(\eta) \quad \dots \dots \dots \quad (5) \quad \eta = x/R(y) \quad \dots \dots \dots \quad (6) \quad f(\eta) = \sum_{n=0}^{\infty} a_{2n} \eta^{2n} \quad \dots \dots \dots \quad (7)$$

とする。ここで $s_m' = s_s - s_m$ 、また $U_m(y)$ 、 $s_m'(y)$ は y 軸上での流速、密度である。(2)式に(4)、(5)式を代入して、

$$v = \frac{R}{s_f} s_m'(y) \sum_{n=0}^{\infty} a_{2n} \eta^{2n} \quad \dots \dots \dots \quad (8)$$

流速いすす境界条件 $u(0, y) = 0$ を用いて、(1)、(8)式より

$$u = - \frac{R}{s_f} \left[\frac{ds_m'(y)}{dy} R(y) \sum_{n=0}^{\infty} \frac{1}{2n+1} a_{2n} \eta^{2n+1} - s_m'(y) \frac{dR(y)}{dy} \sum_{n=0}^{\infty} \frac{2n}{2n+1} a_{2n} \eta^{2n+1} \right] \quad \dots \dots \dots \quad (9)$$

(5)、(8)、(9)式より $\partial v / \partial x$ 、 $\partial s / \partial x$ 、 $\partial s / \partial y$ 、 $\partial^2 s / \partial x^2$ を求め、(3)式に代入すると、

$$\frac{ds_m'(y)}{dy} \sum_{n=0}^{\infty} \left(\frac{2l}{2n+1} - 1 \right) a_{2n} a_{2l} \eta^{2(l+n)} - \frac{s_m'(y)}{R(y)} \frac{dR(y)}{dy} \sum_{n=0}^{\infty} \left(\frac{4nl}{2n+1} - 2l \right) a_{2n} a_{2l} \eta^{2(l+n)} = - \frac{3}{16} D \frac{s_m'(y)}{R(y)} \sum_{n=0}^{\infty} \left\{ 4nl + 2l(2l-1) \right\}$$

$$+ a_{2n} a_{2l} \eta^{2(l+n)-2} \quad \dots \dots \dots \quad (10) \quad (10) \text{ 式をみると、} y \text{ の項の部分と} \eta \text{ の項の部分とが分離されていふので、}$$

$$(10) \text{ 式が恒等的になりたつために、} \frac{ds_m'(y)}{dy} = - \frac{s_m'(y)}{R(y)} \frac{dR(y)}{dy} = - \frac{3}{16} D \frac{s_m'(y)}{R(y)} \quad \dots \dots \dots \quad (11)$$

$$(11) \text{ の 2, 3 項より } R(y) = \frac{3}{8} Dy + C_1 \quad \dots \dots \dots \quad (12) \quad (11) \text{ の 1, 3 項および (12) 式より } s_m'(y) = C_2 / \sqrt{6Dy + 16C_1} \quad \dots \dots \dots \quad (13)$$

ここで C_1 、 C_2 は積分定数である。 C_2 は境界条件 $y=0$ で $s=s_s$ より、 $C_2 = 4\sqrt{C_1}(s_s - s_f)$ とする。(1) に代入する。

$$s_m'(y) = 4\sqrt{C_1}(s_s - s_f) / \sqrt{6Dy + 16C_1} \quad \dots \dots \dots \quad (14)$$

$$(11) \text{ 式より } \Sigma \text{ にかかる係数を消去すれば、} \sum_{n=0}^{\infty} \left(\frac{2l}{2n+1} - 1 \right) a_{2n} a_{2l} \eta^{2(l+n)} + \sum_{n=0}^{\infty} \left(\frac{4nl}{2n+1} - 2l \right) a_{2n} a_{2l} \eta^{2(l+n)}$$

$$= \sum_{n=0}^{\infty} \sum_{l=0}^{\infty} \left\{ 4nl + 2l(2l-1) \right\} a_{2n} a_{2l} \eta^{2(l+n)-2} \quad \dots \dots \dots \quad (15) \quad (15) \text{ 式の } \eta \text{ の同べきの係数を比較して求めると、} a_2 = -\frac{1}{2} a_0, a_4 =$$

$$-\frac{1}{24} a_0, a_6 = -\frac{1}{720} a_0, a_8 = -\frac{1}{8064} a_0, \dots \text{ とある。いま } f(\eta) \text{ と } a_0 \text{ までとおれば } f(\eta) = a_0 [1 - \frac{1}{2} \left(\frac{x}{R(y)} \right)^2 - \frac{1}{24} \left(\frac{x}{R(y)} \right)^4] \quad | \text{ で } \text{ が}\text{ て } (15) \text{ 式の } x=0 \text{ で } f(\eta)=1 \text{ とならねばならないから } a_0 = 1 \quad | \text{ に代入する } f(\eta) = 1 - \frac{1}{2} \left(\frac{x}{R(y)} \right)^2 - \frac{1}{24} \left(\frac{x}{R(y)} \right)^4 \quad \dots \dots \dots \quad (16)$$

積分定数 C_1 を含んで流速 u 、 v 、密度 s は次式で与えられる。

$$u = \frac{R}{s_f} 12\sqrt{C_1}(s_s - s_f) D / (6Dy + 16C_1)^{\frac{3}{2}} \cdot x \left[1 - \frac{1}{2} \left(\frac{x}{R(y)} \right)^2 - \frac{1}{24} \left(\frac{x}{R(y)} \right)^4 \right] \quad \dots \dots \dots \quad (17)$$

$$v = \frac{R}{s_f} 4\sqrt{C_1}(s_s - s_f) / (6Dy + 16C_1)^{\frac{1}{2}} \left[1 - \frac{1}{2} \left(\frac{x}{R(y)} \right)^2 - \frac{1}{24} \left(\frac{x}{R(y)} \right)^4 \right] \quad \dots \dots \dots \quad (18)$$

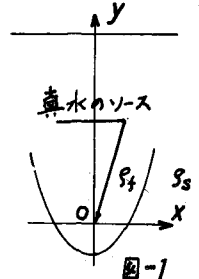


図-1

$$\delta = \delta_S - 4\sqrt{C_1}(\delta_S - \delta_F)/(6Dy + 16C_1)^{\frac{1}{2}} \left[1 - \frac{1}{2} \left(\frac{2}{Ry} \right)^2 - \frac{1}{24} \left(\frac{2}{Ry} \right)^4 \right] \quad (19)$$

ここで $C_1, J, (12)$ 式について、ある所における $R(y)$ を与えることによつてえらかるが、いまのところ困難である。本報では $R(y)$ として図-2 に示すように、ボテンシナル流れの淡塩界面の x 方向の長さをとつてみた。上田・杉尾によつて与えられた暗きよの淡水注入による淡塩界面の近似解によると、複素ボテンシナル W は、

$$W = \frac{Q}{2\pi} \ln \left\{ (x-d)/ (x+d) \right\} + C_0 + i(mkE)x \quad (20) \quad \text{こゝで } Q: \text{暗きよからの流量}, d: \text{流出点の位置}, E = (\delta_S - \delta_F)/\delta_F \quad \phi = \frac{Q}{2\pi} \ln \frac{x+y}{x-y} \frac{d^2}{d^2 - y^2} + C_0 - (mkE)y \quad (21)$$

$$\psi = \frac{Q}{2\pi} \tan^{-1} \frac{2dx}{d^2 - y^2} + (mkE)x \quad (22) \quad Q = 2\pi \left[\delta_A H - mkE(d-r) \right] / \ln((2d-r)/r) \quad (23)$$

$$\text{淡塩界面の形状は, } -\tan \left(\frac{2\pi mkE}{Q} x \right) = 2dx/(d^2 - x^2 - y^2) \quad (24)$$

$$y_J = \sqrt{2d/mkE} + d^2 \quad (25) \quad \text{こゝに } m = 1 + \frac{2}{2\pi kEy_J} \ln \frac{4d-r}{4d+r} \quad (26)$$

したがつて、流量 Q 、水頭差 ΔH 、淡水注入点の深さ d を与えると、(23)、(24)、(25)、(26) 式を連立させて境界面の形状がえらかる。

こゝで、暗きよから十分上方に離れて水深 y において、こゝでえらかに境界面形状の境界幅を $R(y)$ とつて(12)式から C_1 を決定し、(17)、(18)、(19)式から、分散、混合を考えた場合の、密度、流速分布を求める方法をとつた。

3. 解について

いま $Q = 0.293 \text{ cm}^3/\text{s}$, $m = 0.965$, $\Delta H = 25.27 \text{ cm}$ とし、(23)～(26)式より、ボテンシナル流れの淡塩界面を算定し、 $y=10 \text{ cm}$ における境界幅 20 cm を用いて(12)式から各粒径 D に対する C_1 を求め、(17)～(19)式より、 u , v , ρ を求めた。その一部を図-4 に示す。また $\rho_m(y)$, $U_m(y)$ を図-5 に示す。図-4.5 から粒径 D が大きくなると、したがつて分散係数が大きくなると、密度については y 軸上の値は大きくなり、その拡散幅も大きくなり、また垂直流速 v については y 軸上で小さくなり、その現われる範囲の水平幅は大きくなる。なお本報の解は、各水深の水平方向の密度分布および垂直流速分布を(6)(7)式に示すようなべき級数においてもので、 $x/R(y)$ がある程度小さく値がないければならない。(したがつて y 軸上およびその近傍の密度、流速については、十分の精度をもつものと考えらかるが、 $x=R(y)$ 付近をなわら、淡塩界面付近については不正確な値となつてゐる)と考へらかる。ちなみに、図-3 の実線は $D=1 \text{ mm}$ の本報による $\delta = \delta_S$ の境界線を図-4(a)の A 点、(b)の A 点に相当するものを導いたものである。

4. おさび

以上により、分散がある場合の地下密度流の解の一部を導いたといえる。なお淡塩界面附近については、疑問の点が多く残つてゐる。今後数值解析および実験によつて、本報の解を検討し、とくに各水深における水平方向の密度、垂直流速の分布形の検討および境界部の連行現象を研究して、十分精度をもつて解釈解をえたいと考えてゐる。

参考文献

- 1) P.G. Soffman : "A theory of dispersion in a porous medium", Jour. of Fluid Mech. No. 6 1959.
- 2) 上田・杉尾 : "暗きよからの淡水注入による淡塩界面の解析", 工学論文集, No. 225 May, 1974.

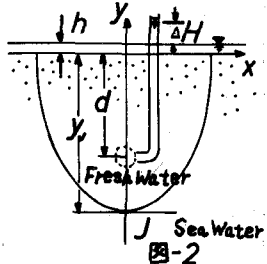


図-2

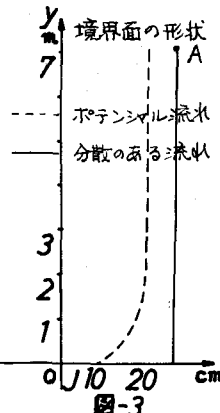


図-3

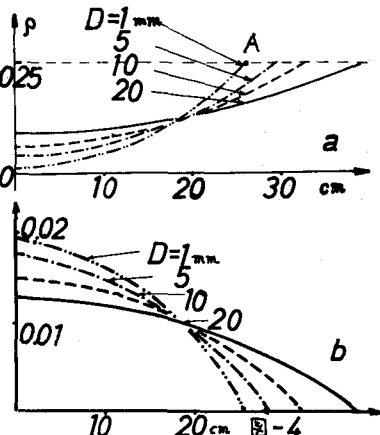


図-4

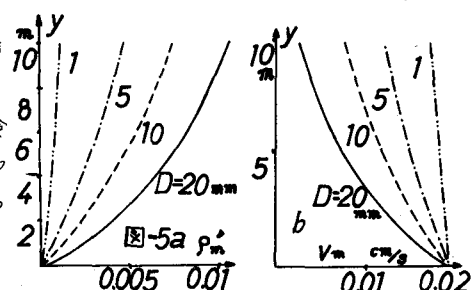


図-5a